

**Faculty of Engineering
Stellenbosch University
Fakulteit Ingenieurswese
Universiteit Stellenbosch**



Stellenbosch
UNIVERSITY
IYUNIVESITHI
UNIVERSITEIT

forward together
sonke siya phambili
saam vorentoe

Materials Science A244 Materiaalkunde A244			Assessment 1 September 2024 Assessering 1 September 2024
Duration Tydsduur	2 h / ure	Full marks Volpunte	120 (4 bonus)

	Names Name	Signatures to confirm: Question paper and marking scheme are correct and aligned with module outcomes Handtekeninge ter bevestiging: Vraestel en merkskema is korrek en belyn met module uitkomste
Examiner(s) Eksaminator(e)	Prof D Blaine Dr M Neaves	<i>D. Blaine. M. Neaves</i>
Moderator(s) Moderator(e)	Mr P Blaine	<i>P. Blaine</i>

DO NOT WRITE IN THIS AREA – MOET NIE IN HIERDIE GEBIED SKRYF NIE

Q1 [12]	Q2 [12]	Q3 [10]	Q4 [22]	Q5 [26]	Q6 [17]	Q7 [25]	TOTAL/ TOTAAL [124]

INSTRUCTIONS ON NEXT PAGE – INSTRUKSIES OP VOLGENDE BLADSY

Student No:

Instructions	Instruksies
<p>The Engineering Faculty's "General Stipulations for Under- and Postgraduate Modules" apply to this assessment.</p> <p>Answer all the questions.</p> <p>The marks for each question are indicated to the right of the question in square brackets.</p> <p>This is a closed book assessment.</p> <p>Pocket calculators prescribed for the first two years of the BEng may be used.</p> <p>Write your student number on the front page and in the corner of each page, in the space provided.</p> <p>Answer each question in the space provided on the question paper and ensure that your final answers are clearly indicated.</p> <p>You may use the blank pages at the end of the question paper for additional space to write or to do calculations.</p> <p>THE ENTIRE QUESTION PAPER WITH THE ANSWERS FILLED IN MUST BE HANDED IN.</p>	<p>Fakulteit Ingenieurswese se "Algemene Bepalings vir Voor- en Nagraadse Modules" is op hierdie assessering van toepassing.</p> <p>Beantwoord al die vrae.</p> <p>Die punte vir elke vraag word regs van die vraag in vierkantige hakies aangedui.</p> <p>Hierdie is 'n toeboek assessering.</p> <p>Sakrekenaars voorgeskryf vir die eerste twee jaar van die BIng mag gebruik word.</p> <p>Skryf u studente nommer op die voorblad en in die spasie wat in die hoek van elke bladsy verskaf word.</p> <p>Antwoord elke vraag in die spasie wat op die vraestel verskaf word en maak seker dat u finale antwoorde word duidelik aangedui.</p> <p>U kan die oop bladsye aan die einde van die vraestel gebruik vir addisionele spasie om te skryf of om berekeninge te doen.</p> <p>DIE HELE VRAESTEL MET INGEVULDE ANTWOORDE MOET INGEDIEN WORD.</p>

Question 1 / Vraag 1

[12]

With reference to their material category, atomic bonding and subatomic particle arrangements for each of these materials, explain why they exhibit the indicated properties.

Met verwysing na hul materiaalkategorie, atoombinding en subatomiese partikel rangskikkings vir elkeen van hierdie materiale, verduidelik hoekom hulle die aangeduide eienskappe vertoon.

1.1

Copper (Cu) wire and foil is used for electrical connections as it is highly electrically conductive. Why? (5)

1.1

Koper (Cu) draad en foelie word gebruik vir elektriese verbindinge aangesien dit hoogs elektries geleidend is. Hoekom? (5)

1.2

Borosilicate glass (SiO_2 with $>8\% \text{ B}_2\text{O}_3$) is used for chemical laboratory glassware (beakers, cylinders, etc.) as it is chemically resistant and has a high melting temperature. Why? (7)

1.2

Borosilikaatglas (SiO_2 met $>8\% \text{ B}_2\text{O}_3$) word gebruik vir chemiese laboratoriumglasware (bekers, silinders, ens.) aangesien dit chemies bestand is en 'n hoë smelttemperatuur het. Hoekom? (7)

Question 2 / Vraag 2

[12]

2.1 Figure 2.1 shows a unit cell. Answer the questions that follow.

2.1 Figuur 2.1 toon 'n eenheidsel. Beantwoord die vrae wat volg.

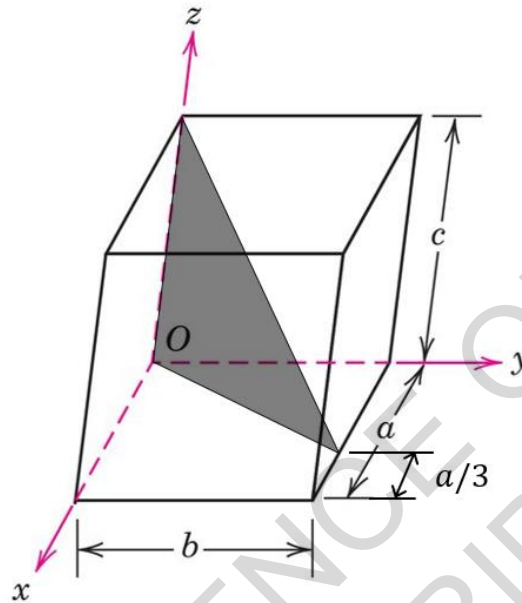


Figure 2.1 / Figuur 2.1

2.1.1

(3)

2.1.1

(3)

For a cubic unit cell, state the relationship between side lengths a, b, c , as well as the relationship between the interaxial angles α, β, γ . Note, α is the angle between the unit vectors of the z and y axes, β between the x and z axes, and γ between the x and y axes.

Vir 'n kubieke eenheidsel, noem die verwantskap tussen sy lengtes a, b, c asook die verwantskap tussen die tussenashoeke α, β, γ . Let wel, α is die hoek tussen die eenheidsvektore van die z - en y -asse, β tussen die x - en z -asse, en γ tussen die x - en y -asse.

2.1.2

(9)

2.1.2

(9)

Determine the Miller indices for the shaded plane in Figure 2.1, assuming that the conditions for a cubic unit cell are met (as defined in Question 2.1.1). All calculations and any supporting sketches must be shown; space for this is provided on the next page.

Bepaal die Miller-indekse vir die ingekleurde vlak in Figuur 2.1, met die veronderstelling dat die voorwaardes vir 'n kubieke eenheidsel nagekom word (soos gedefinieer in Vraag 2.1.1). Alle berekeninge en enige ondersteunende sketse moet getoon word; spasie hiervoor word op die volgende bladsy voorsien.

FOR REFERENCE ONLY.
NOT FOR DISTRIBUTION

Question 3 / Vraag 3

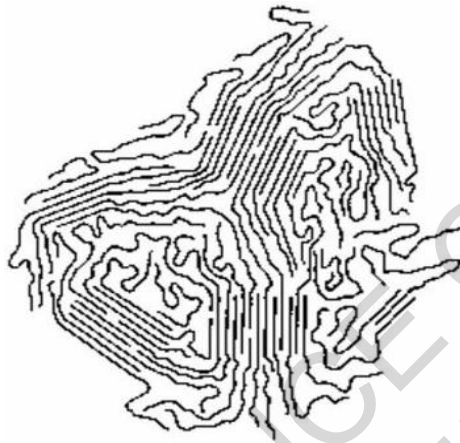
[10]

3.1

Polymers can exhibit a degree of crystallinity. Figure 3.1 shows the structure of a semicrystalline polymer.

3.1

Polimere kan 'n mate van kristalliniteit vertoon.
 Figuur 3.1 toon die struktuur van 'n semikristallyne polimeer.

Figure 3.1 / *Figuur 3.1*

3.1.1

(2)

Clearly circle and label examples of crystalline and amorphous regions on Figure 3.1.

3.1.1

(2)

Omkring en gee byskrifte vir voorbeelde van kristallyne en amorse gebiede duidelik op Figuur 3.1.

3.1.2

(4)

Describe the difference between the structure of the crystalline and amorphous regions of this semicrystalline polymer.

3.1.2

(4)

Beskryf die verskil tussen die struktuur van die kristallyne en amorf gebiede van hierdie semikristallyne polimeer.

3.2

Figure 3.2 shows a characteristic ceramic structure.

3.2

Figuur 3.2 toon 'n kenmerkende keramiekstruktuur.

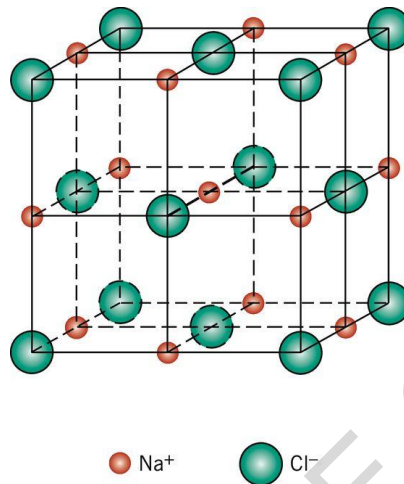


Figure 3.2 / Figuur 3.2

3.2.1

(1)

3.2.1

(1)

Label one cation and one anion, respectively, in this structure, directly on Figure 3.2.

Gee byskrifte vir een kation en een anioon, onderskeidelik, in hierdie struktuur, direk op Figuur 3.2.

3.2.2

(3)

3.2.2

(3)

Provide the following characteristics of this structure:

Verskaf die volgende kenmerke van hierdie struktuur:

(i) Type (AX, A_mX_p , $A_mB_nX_p$):

(i) Tipe (AX, A_mX_p , $A_mB_nX_p$)

(ii) Coordination number:

(ii) Koördinasienommer:

(iii) Coordination geometry name (linear, planar, equilateral triangle, tetrahedron, octahedron, cube):

(iii) Koördinasie geometrie naam (lineêr, gelyksydige driehoekvlak, tetraëder, oktaëder, kubus):

Question 4 / Vraag 4**[22]**

Table 4.1 provides some characteristics of selected elements. *Tabel 4.1 verskaf 'n paar kenmerke van geselekteerde elemente.*

Element	Atomic number / Atoom- nommer	Crystal structure at 20 °C / <i>Kristalstruktuur by 20 °C</i>	Atomic radius / Atoom radius [nm]	Most common valency / <i>Mees algemene valensie</i>	Electro- negativity / <i>Elektro- negatiwiteit</i>	Density at 20 °C / <i>Digtheid by 20 °C</i> [g/cm ³]
Aluminium	13	FCC / VSK	0.143	3+	1.5	2.71
Copper / <i>Koper</i>	29	FCC / VSK	0.128	1+	1.9	8.94
Iron (α) / <i>Yster (α)</i>	26	BCC / BSK	0.124	2+	1.8	7.87

4.1

Consider the data for the elements Al and Fe.

4.1.1

(6)

Calculate the volume for an Al and Fe unit cell, respectively. Repeat the calculation for each element, showing all your working steps with clear explanations.

4.1

Beskou die data vir die elemente Al en Fe.

4.1.1

(6)

Bereken die volume vir 'n Al- en Fe-eenheidseel, onderskeidelik. Herhaal die berekening vir elke element, en wys al u werkstappe met duidelike verduidelikings.

4.1.2

(7)

With the limited data provided in Table 4.1, provide a rational explanation as to why the density of Al is so much lower than that of Fe.

4.1.2

(7)

Deur die beperkte data wat in Tabel 4.1 verskaf word, gee 'n rasionele verduideliking waarom die digtheid van Al soveel laer is as dié van Fe.

Consider that the density of a metal is correlated to the mass of the atoms contained inside a unit cell, per unit cell volume. The equation for the metal density is provided in the formula sheet for guidance in your reasoning, however you do NOT need to calculate the density and indeed this is not possible without the atomic weight, which is not provided.

Neem in ag dat die digtheid van 'n metaal gekorreleer word met die massa van die atome wat binne 'n eenheidsel voorkom, per eenheidselvolume. Die vergelyking vir metaaldigtheid word in die formulablad verskaf as leiding vir jou redenering, alhoewel u hoef NIE die digtheid te bereken nie en dit is beslis nie doenbaar nie sonder die atoomgewig nie, wat nie verskaf word nie.

(9)

Use the data provided to determine whether Al will form a substitutional solid solution with Cu.

(9)

Gebruik die data wat verskaf word om te bepaal of Al 'n substitusionele vaste oplossing met Cu sal vorm.

Question 5 / Vraag 5**[26]**

5.1

In manufacturing operations where forming occurs by cold work, a recrystallisation heat treatment is often used between steps. Consider the following manufacturing process that consists of 3 steps:

Step 1: Cold draw a rod from an original diameter, D_0 , to an intermediate diameter, D_1 , resulting in 30% cold work.

Step 2: Recrystallisation heat treatment, after which the diameter is D_R .

Step 3: Cold draw to a final diameter of D_f , resulting in 20% cold work.

5.1

In vervaardigingsbedrywighede waar vorming deur koue werk plaasvind, word 'n herkristallisatie-hittebehandeling dikwels tussen stappe gebruik. Oorweeg die volgende vervaardigingsproses wat uit 3 stappe bestaan:

Stap 1: Koudtrek 'n staaf van 'n oorspronklike deursnee, D_0 , na 'n tussendeursnee, D_1 , wat 30% koue werk tot gevolg het.

Stap 2: Herkristallisatie hittebehandeling, waarna die deursnee D_R is.

Stap 3: Koue trek tot 'n finale deursnee van D_f , wat lei tot 20% koue werk.

5.1.1

(12)

Indicate whether the dimensions or properties shown are > (greater than), < (less than), or = (equal to) each other. In all cases, subscript

0 refers to the original condition,

1 is after Step 1,

R is after Step 2, and

f is after Step 3.

5.1.1

(12)

Dui aan of die afmetings of eienskappe wat gewys word > (groter as), < (minder as) of = (gelyk aan) mekaar is. In alle gevalle, onderskrif

0 verwys na die oorspronklike toestand,

1 is na Stap 1,

R is na Stap 2, en

f is na Stap 3.

	Step 0 → Step 1	Step 1 → Step 2	Step 0 → Step 3
	Change from original state to after 1 st cold draw / <i>Verandering vanaf oorspronklike toestand tot ná 1ste koue trek</i>	Change from after 1 st cold draw to after recrystallisation heat treatment / <i>Verandering vanaf ná 1ste koue trek tot ná herkristallisatie hittebehandeling</i>	Overall change from original state to final state (after 2 nd cold draw) / <i>Algehele verandering vanaf oorspronklike toestand ná finale toestand (ná 2de koue trek)</i>
Diameters / <i>Deursnee</i>	D_0 D_1	D_1 D_R	D_0 D_f
Elastic modulus / <i>Elastisiteitsmodulus</i>	E_0 E_1	E_1 E_R	E_0 E_f
Yield strength / <i>Swigsterkte</i>	$\sigma_{y,0}$ $\sigma_{y,1}$	$\sigma_{y,1}$ $\sigma_{y,R}$	$\sigma_{y,0}$ $\sigma_{y,f}$
Ductility, %EL / <i>Rekbaarheid, %EL</i>	%EL ₀ %EL ₁	%EL ₁ %EL _R	%EL ₀ %EL _f

5.1.2

(6)

Explain why the properties for elastic modulus, yield strength and ductility show the behaviour you have indicated. Indicate what changes at an atomic level in the crystal lattice at each step as a means to support your argument.

5.1.2

(6)

Verduidelik waarom die eienskappe vir elastisiteitsmodulus, swigsterkte en rekbaarheid die gedrag toon wat u aangedui het. Dui aan wat op 'n atoomvlak in die kristalrooster by elke stap verander as 'n manier om u argument te ondersteun.

5.2

Figure 5.2 shows a crystal lattice with dislocations.

5.2

Figuur 5.2 toon 'n kristalrooster met ontwigtings.

5.2.1

(3)

Identify the dislocations in Figure 5.2 by drawing in the standard \perp dislocation indicator, orientated correctly according to the structure of the dislocation.

5.2.1

(3)

Identifiseer die ontwigtings in Figuur 5.2 deur die standaard \perp ontwigting-aanwyser in te teken, korrek georiënteer volgens die struktuur van die ontwigting.

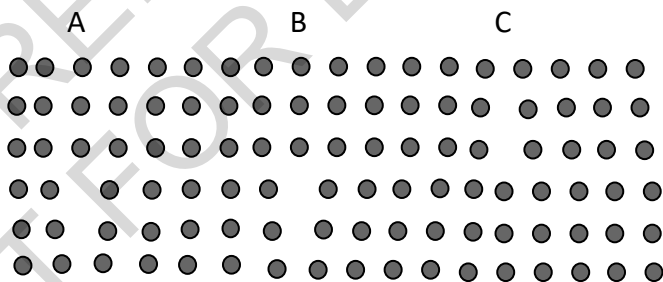


Figure 5.2 / Figuur 5.2

5.2.2

(3)

Select the correct type of dislocation at each of the positions by marking the correct box with an X:

5.2.2

(3)

Kies die korrekte tipe ontwigting by elkeen van die posisies deur die korrekte blokkie met 'n X te merk:

Dislocation position / Ontwigtingposisie	Edge / Kant	Screw / Skroef	Mixed / Gemeng
A			
B			
C			

5.2.3

(1)

What happens when the dislocation at A migrates to B?

5.2.2

(1)

Wat gebeur wanneer die ontwingting by A na B toe skyf?

5.2.4

(1)

What happens when the dislocation at C migrates to B?

5.2.3

(1)

Wat gebeur wanneer die ontwingting by C na B toe skyf?

Question 6 / Vraag 6

[17]

6.1

The diffusion coefficients of Zn in Cu at two different temperatures are given in Table 6.1 below.

6.1

Die diffusiekoëffisiënte van Zn in Cu by twee verskillende temperature word in Tabel 6.1 hieronder gegee.

Temperature / Temperatuur	Diffusion coefficient / Diffusiekoëffisiënt
750°C	$5.31 \times 10^{-15} \text{ m}^2/\text{s}$
850°C	$3.84 \times 10^{-14} \text{ m}^2/\text{s}$

6.1.1

(6)

Draw the diffusion curve for Zn in Cu on the graph paper provided on the next page. Add axis titles with units, as well as appropriate scale values on the x and y axes of the semi-logarithmic graph.

6.1.1

(6)

Teken die diffusiekurwe vir Zn in Cu op die grafiekpapier wat op die volgende bladsy verskaf word. Voeg astitels met eenhede by, asook geskikte skaalwaardes op die x en y asse van die semilogaritmiese grafiek.

6.1.2

(7)

A minimum steady-state diffusion flux for Zn in Cu of $J = 1 \times 10^{-15} \frac{\text{kg}}{\text{m}^2/\text{s}}$ is required. The concentration gradient is $-50 \frac{\text{kg}/\text{m}^3}{\text{m}}$. Calculate the diffusion coefficient required to achieve this diffusion flux, and use the diffusion curve drawn on the graph to determine the minimum temperature (°C) required to achieve this diffusion flux. Clearly indicate this point on the graph.

6.1.2

(7)

'n Minimum bestendige-toestand diffusie vloed vir Zn in Cu van $J = 1 \times 10^{-15} \frac{\text{kg}}{\text{m}^2/\text{s}}$ word benodig. Die konsentrasiegradiënt is $-50 \frac{\text{kg}/\text{m}^3}{\text{m}}$. Bereken die diffusiekoëffisiënt wat benodig word om hierdie diffusievloed te bereik, en gebruik die diffusiekurwe wat op die grafiek geteken is om die minimum temperatuur (°C) te bepaal, wat benodig word om hierdie diffusievloed te bereik. Dui hierdie punt duidelik op die grafiek aan.

6.1.3

(4)

The diffusion coefficient curve is described by an Arrhenius temperature dependence. Explain in your own words the mathematical description of this type of temperature dependence.

6.1.3

(4)

Die diffusiekoëffisiëntkurwe word deur 'n Arrhenius-temperatuurafhanklikheid beskryf. Verduidelik in u eie woorde die wiskundige beskrywing van hierdie tipe temperatuurafhanklikheid.

Student No:

--

NOT FOR PUBLICATION ONLY

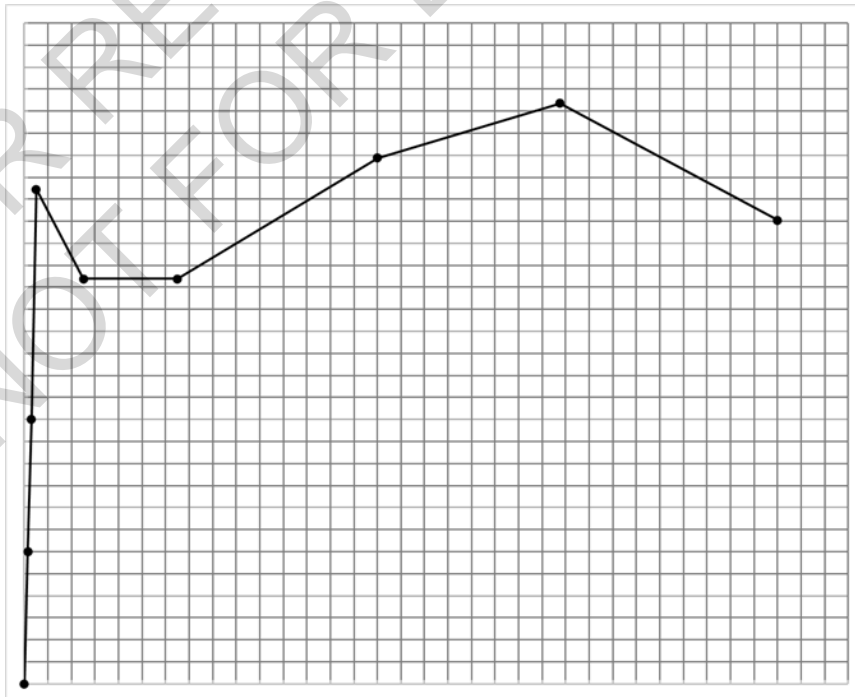
--

Question 7 / Vraag 7**[25]**

A 12 mm-diameter rod is machined from a sample of plain carbon steel alloy and is subjected to uniaxial tensile testing, according to the ASTM E8M standard. An extensometer with a length between arms of 40 mm is used to measure elongation, while the applied force is measured with a 150 kN-load cell. The following data are recorded during the test.

'n Eenassige trektoets word op 'n staaf met 'n deursnit van 12 mm toegepas, volgens die ASTM E8M-standaard. Die staaf is gemasjineer uit 'n monster van 'n gewone koolstofstaal-allooi. 'n Verlengingsmeter met 'n lengte tussen arme van 40 mm word gebruik om verlenging te meet, terwyl die toegepaste krag met 'n 150 kN-lassel gemeet word. Die volgende data word tydens die toets opgeneem.

Elongation / Verlenging [mm]	Load / Las [kN]
0	0
0.06	34
0.12	68
0.2	127
1.0	104
2.6	104
6	135
9.1	149
12.8	119
Failure / Breuk	



7.1

(11)

The force-elongation data provided has been used to draw the **stress-strain curve** for this material on the grid provided on the previous page.

7.1

(11)

*Die gegewe las-verlengingsdata is gebruik om die **spanning-vervormingskurwe** vir hierdie materiaal te teken op die blokgrafiek wat op vorige bladsy verskaf word.*

7.1.1

The curve demonstrates an abrupt elastic-plastic transition. What is the name of this phenomenon?

7.1.1

Die kurwe toon 'n skielike elasties-plastiese oorgang. Wat is die naam van hierdie verskynsel?

7.1.2

Add axis titles with units, as well as appropriate scale values on the x and y axes of the grid.

7.1.2

Voeg astitels met eenhede by, asook geskikte skaalwaardes op die x en y asse van die blok grafiek.

7.1.3

Clearly indicate **on the graph** stress and strain values for the yield points, tensile strength and fracture strength.

7.1.3

*Dui die spanning en vervormingwaardes duidelik op **die grafiek** aan vir die swigpunte, treksterkte en breuksterkte.*

7.2

(2)

Calculate the elastic modulus for this material.

7.2

(2)

Bereken die elastisiteitsmodulus vir hierdie materiaal.

7.3

(2)

Of the two yield points shown in the curve, which one should be taken as the yield strength of this material? Also give a brief reason for your choice.

7.3

(2)

Van die twee swigpunte wat in die kurwe getoon word, watter een moet as die swigsterkte van hierdie materiaal geneem word? Gee ook 'n kort rede vir jou keuse.

7.4	(3)	7.4	(3)
Calculate the approximate toughness of the material.		<i>Bereken die benaderde taaiheid van die materiaal.</i>	

7.5	(5)	7.5	(5)
What is the total gauge length of the specimen <u>after</u> failure? Give your answer to 3 significant figures. Indicate the construction line(s) used to determine the value on the stress-strain diagram or clearly show how you determined the value by calculations.		<i>Wat is die totale maatlengte van die toetsstuk <u>na</u> faling? Gee u antwoord tot 3 beduidende syfers. Dui die konstruksielyn(e) aan wat gebruik word om die waarde te bepaal op die spannings-vervormings kurwe of wys berekeninge wat duidelik aandui hoe u die waarde bepaal het.</i>	

7.6	(2)	7.6	(2)
Suppose the Brinell hardness of the tested steel is 382 HB, whereas the hardness of an alternative steel alloy is 400 HB. Which steel (tested or alternative) likely has a higher tensile strength? Give a brief reason for your answer.		<i>Gestel die Brinell-hardheid van die getoetste staal is 382 HB, terwyl die hardheid van 'n alternatiewe staalalloy 400 HB is. Watter staal (getoets of alternatief) het waarskynlik 'n hoër treksterkte? Gee 'n kort rede vir jou antwoord.</i>	

Student No:

PAGES LEFT INTENTIONALLY BLANK FOR ADDITIONAL CALCULATIONS OR WRITING SPACE /
BLADSYE DOELBEWUS LEEG GEHOU VIR ADDISIONELE BEREKENINGE OF SKRYFRUIMTE

FOR REFERENCE ONLY.
NOT FOR DISTRIBUTION

Student No:

PAGES LEFT INTENTIONALLY BLANK FOR ADDITIONAL CALCULATIONS OR WRITING SPACE /
BLADSYE DOELBEWUS LEEG GEHOU VIR ADDISIONELE BEREKENINGE OF SKRYFRUIMTE

FOR REFERENCE ONLY.
NOT FOR DISTRIBUTION